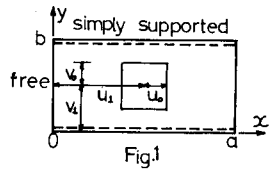


北海道大学 正員 能町 純雄
 角田 与史雄
 〇塚 寿司

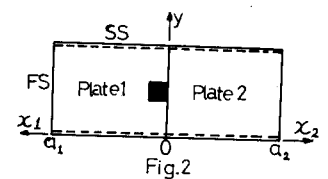
1. まえかき 硬化収縮, 乾燥収縮等の拘束の影響によってスラブに貫通心が割れが生じている場合でも, 鉄筋によって力の相互伝達が行われている。この伝達機構は非常に複雑であり, これらを解析によって定量的に捉えるには困難な要因が多過ぎる。しかし, 著者らは相互伝達力及び鉄筋の影響を貫通心が割れ断面におけるバネ定数の導入によってモデル化することを試みた。すなわち, 対応する力学的モデルを解析的に解き, 実験によりそのバネ定数の概略値を得, 更に, 貫通心が割れの境界条件を想定した事による曲げ応力の変化状況と調べようとしたものである。尚, 当然, 鉄筋にはそれ自身で曲げ耐荷力を有しているがこれを無視して, 版の境界に生じるせん断力のみをバネを介して伝達するものとした。又, 解析の便宜のため, 貫通心が割れる, 境界に平行に生ずる場合を取扱った。

2. モデルの解析 有限フーリエ変換を用いた重調和微分式の Green の積分を媒介とすれば簡単に矩形平板の一般解を求めることが出来ることはよく知られている。これを図.1 に示す様な矩形平板に適用すれば, W の重調和微分式に対する Green の積分は, 次の様に書くことが出来る。



$$\int_0^a \int_0^b \{ (\delta^2 W) \cdot u - (\delta^2 u) \cdot W \} dx dy = R(W \cdot u)^* \quad \text{--- (1)}$$

図.1の境界条件を考慮した次のWは,



$$W = \frac{\delta^2 a^2}{D} \sum_n R_n(u_0, u_1, \xi) \cdot \sin \frac{n\pi u_1}{b} \sin \frac{n\pi u_2}{b} \sin n\pi y + \frac{1}{b} \sum_n [2G_{n,1} + (1-\nu)H_{n,1}] \cdot S_n[W_{x=a}] \sin n\pi y + \frac{1}{b} \sum_n [2G_{n,2} + (1-\nu)H_{n,2}] \cdot S_n[W_{x=0}] \sin n\pi y \quad \text{--- (2)}$$

ここで

$$R_n(u_0, u_1, \xi) = \frac{b}{a} \frac{a_0}{a_1} \frac{1}{\alpha_n} \{ -A_n^{(1)} - [-B_n^{(2)}] + A_n^{(3)} + [-B_n^{(4)}] \}, S_n[W_{x=a}] = \int_0^a W_{x=a} \sin \frac{n\pi x}{a} dx, S_n[W_{x=0}] = \int_0^a W_{x=0} \sin \frac{n\pi x}{a} dx, A_n^{(1)} = \sum_m S_{m,n} \sin m\pi(\xi + \alpha), A_n^{(2)} = \sum_m S_{m,n} \sin m\pi(\xi - \alpha), A_n^{(3)} = \sum_m S_{m,n} \sin m\pi(\xi + \beta), A_n^{(4)} = \sum_m S_{m,n} \sin m\pi(\xi - \beta), B_n^{(2)} = \sum_m S_{m,n} \sin m\pi(\alpha - \xi), B_n^{(4)} = \sum_m S_{m,n} \sin m\pi(\beta - \xi), S_{m,n} = 1/m(m^2 + \alpha_n^2), \alpha_n = a_0 n/b, \alpha = (u_0 + u_1)/2, \beta = (u_0 - u_1)/2, \xi = x/a, \eta = y/b, G_{n,\xi} = [ch \pi \alpha_n (1 + \xi) - ch \pi \alpha_n (1 - \xi)] / (ch 2\pi \alpha_n - 1), H_{n,\xi} = \pi \alpha_n \{ (1 - \xi) sh \pi \alpha_n (1 + \xi) - (1 + \xi) sh \pi \alpha_n (1 - \xi) \} / (ch 2\pi \alpha_n - 1)$$

さて, 式(2)を得られた次のWに及ぼすRに, 図.2に示す様な suffix 1, 2 を添えて, $x_1 = x_2 = 0$ における境界条件

$$i) (R_1)_{x_1=a_1} = 0 \quad ii) (R_2)_{x_2=a_2} = 0 \quad \text{--- (3)}$$

$$iii) \{ (W_1)_{x_1=0} - (W_1)_{x_1=0} \} \cdot K = (R_1)_{x_2=0} \quad iv) - \{ (W_2)_{x_2=0} - (W_2)_{x_2=0} \} \cdot K = (R_2)_{x_1=0}$$

を考慮することによって, 未知数 $S_n[W_{x_1=a_1}], S_n[W_{x_2=0}], S_n[W_{x_2=a_2}], S_n[W_{x_1=0}]$ を得る。従って, 求める次のWは

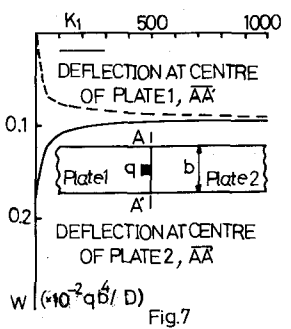
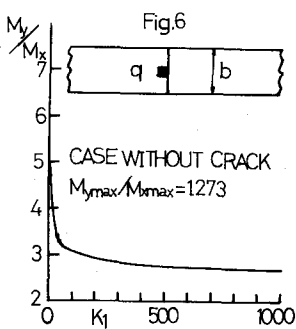
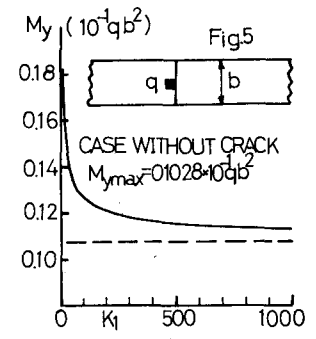
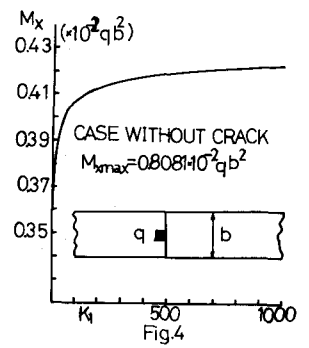
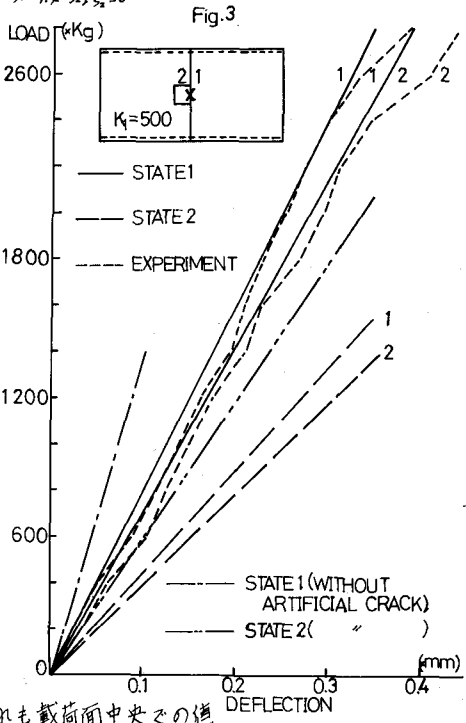
$$W_1 = \frac{\delta^2 a_1^2}{D} \sum_n \{ R_n(u_0, u_1, \xi_1) \sin \frac{n\pi u_1}{b} \sin \frac{n\pi u_2}{b} - X_1 [2G_{n,\xi_1} + (1-\nu)H_{n,\xi_1}] - X_2 [2G_{n,1-\xi_1} + (1-\nu)H_{n,1-\xi_1}] \} \sin n\pi y \quad \text{--- (4)}$$

$$W_2 = \frac{\delta^2 a_2^2}{D} \sum_n \{ E \delta^2 R_n(u_0, u_1, \xi_2) \sin \frac{n\pi u_1}{b} \sin \frac{n\pi u_2}{b} - X_3 [2G_{n,\xi_2} + (1-\nu)H_{n,\xi_2}] - X_4 [2G_{n,1-\xi_2} + (1-\nu)H_{n,1-\xi_2}] \} \sin n\pi y \quad \text{--- (5)}$$

$$\begin{aligned}
 & \text{ここで } X = A^{-1} \cdot B, \quad X = [X_1 \ X_2 \ X_3 \ X_4]^T, \quad B = [\alpha_{11} \ \varepsilon \delta^4 \alpha_{21} \ \beta_{11} \ \varepsilon \delta^4 \beta_{21}]^T, \quad \alpha_{13} = \alpha_{14} = \alpha_{21} = \\
 & \alpha_{22} = \alpha_{23} = \alpha_{41} = 0, \quad \alpha_{11} = \alpha_{12}, \quad \alpha_{12} = \alpha_{13}, \quad \alpha_{23} = \alpha_{22}, \quad \alpha_{24} = \alpha_{23}, \quad \alpha_{31} = \beta_{12}, \quad \alpha_{32} = -2K_1 + \beta_{12}, \\
 & \alpha_{34} = 2K_1, \quad \alpha_{42} = 2K_2, \quad \alpha_{43} = \beta_{22}, \quad \alpha_{44} = -2K_2 + \beta_{23}, \quad K_1 = K\alpha_1^3/D, \quad K_2 = K\alpha_2^3/D, \quad \beta_1 = \varepsilon \beta_1, \quad \alpha_1 = \delta \alpha_1, \\
 & \alpha_{11} = [-R_m''(u_0' u_1' \xi_1 = 1) + (2-\nu)(\pi \alpha m_0)^2 R_m''(u_0' u_1' \xi_2 = 1)] \sin \frac{\pi \nu u_1}{b} \sin \frac{\pi \nu u_2}{b}, \quad \alpha_{12} = -[2G_m'' \xi_1 + (1-\nu)H_m'' \xi_1]_{\xi_1=1} + \\
 & (2-\nu)(\pi \alpha m_0)^2 [2G_m' \xi_1 + (1-\nu)H_m' \xi_1]_{\xi_1=1}, \quad \alpha_{13} = -[2G_m'' \xi_1 + (1-\nu)H_m'' \xi_1]_{\xi_1=1} + (2-\nu)(\pi \alpha m_0)^2 [2G_m' \xi_1 + (1-\nu)H_m' \xi_1]_{\xi_1=1}, \\
 & \alpha_{21} = [-R_m''(u_0' u_1' \xi_2 = 1) + (2-\nu)(\pi \alpha m_0)^2 R_m''(u_0' u_1' \xi_2 = 1)] \sin \frac{\pi \nu u_1}{b} \sin \frac{\pi \nu u_2}{b}, \quad \alpha_{22} = -[2G_m'' \xi_2 + (1-\nu)H_m'' \xi_2]_{\xi_2=1} + \\
 & (2-\nu)(\pi \alpha m_0)^2 [2G_m' \xi_2 + (1-\nu)H_m' \xi_2]_{\xi_2=1}, \quad \alpha_{23} = -[2G_m'' \xi_1 + (1-\nu)H_m'' \xi_1]_{\xi_1=1} + (2-\nu)(\pi \alpha m_0)^2 [2G_m' \xi_1 + (1-\nu)H_m' \xi_1]_{\xi_1=1}, \\
 & \beta_{11} = [-R_m''(u_0' u_1' \xi_1 = 0) + (2-\nu)(\pi \alpha m_0)^2 R_m''(u_0' u_1' \xi_2 = 0)] \sin \frac{\pi \nu u_1}{b} \sin \frac{\pi \nu u_2}{b}, \\
 & \beta_{12} = -[2G_m'' \xi_1 + (1-\nu)H_m'' \xi_1]_{\xi_1=0} + (2-\nu)(\pi \alpha m_0)^2 [2G_m' \xi_1 + (1-\nu)H_m' \xi_1]_{\xi_1=0}, \quad \beta_{13} = -[2G_m'' \xi_2 + (1-\nu)H_m'' \xi_2]_{\xi_2=0} + \\
 & (2-\nu)(\pi \alpha m_0)^2 [2G_m' \xi_2 + (1-\nu)H_m' \xi_2]_{\xi_2=0}, \quad \beta_{21} = [-R_m''(u_0' u_1' \xi_2 = 0) + (2-\nu)(\pi \alpha m_0)^2 R_m''(u_0' u_1' \xi_2 = 0)] \sin \frac{\pi \nu u_1}{b} \sin \frac{\pi \nu u_2}{b}, \\
 & \beta_{22} = -[2G_m'' \xi_2 + (1-\nu)H_m'' \xi_2]_{\xi_2=0} + (2-\nu)(\pi \alpha m_0)^2 [2G_m' \xi_2 + (1-\nu)H_m' \xi_2]_{\xi_2=0}, \quad \beta_{23} = -[2G_m'' \xi_1 + (1-\nu)H_m'' \xi_1]_{\xi_1=0} + \\
 & (2-\nu)(\pi \alpha m_0)^2 [2G_m' \xi_1 + (1-\nu)H_m' \xi_1]_{\xi_1=0}
 \end{aligned}$$

3. 実験及数値計算結果

図2におい、 $Q_1 = Q_2 = 2600$
 $b = 75\text{cm}$, $\varepsilon = 0$, $u_1 = u_2 = 5/75$, $v_1 = 37.5/75$, $v_2 = 5/75$ なる状態を実験も行なった。その中央点におけるたねみの実験値と状態1, 2における解析値との比較をFig.3に示す。実験の値は、変位次の補正をたねのスムーズで付したが、ほぼ状態1に相当していると言えよう。次に、 $\varepsilon = 0$, $u_1 = u_2 = 0.1b$, $v_1 = 0.5b$, $v_2 = 0.1b$ で、x方向単純支持の半無限の板を考へ、貫通ひび割れのある場合の曲げ応力の変化とそれのない場合との比較をFig.4, 5, 6に示す。いずれも載荷面中央での値である。貫通ひび割れの条件を入れるとバネ剛度に依りて荷重分担が変るが、例えば、 $K_1 = 0$ の場合、無載荷板の拘束のない場合、 $M_y = 0.1816 \times 10^{-2} qb^2$, $M_x = 0.3635 \times 10^{-2} qb^2$ となり、 K_1 の値が大きくなるにつれて、一定の値に漸近する。Fig.7には、境界におけるたねみと K_1 との関係を示した。尚、計算には、北大大型計算機センター FACOM 230-60/75 を使用した。



* 能町純雄；弾性基礎にある四辺、四隅自由の